



DM 9001

Panorámica de cantera para áridos en grauvacas feldespáticas (Precámbrico superior) al SO de Plasencia.



DM 9002

Vista parcial de paquetes de grauvacas feldespáticas en la cantera anterior.



DM 9003

Detalle de grauvacas feldespáticas en un paquete de la foto anterior.



DM 9004

Detalle de repliegues
tardihercínicos de di
rección N 35°E afec -
tando a niveles de pi
zarras y grauvacas --
del C.E.G.



DM 9005

Vista parcial de los depósitos terciarios asociados -
a la falla de Plasencia con clara disposición gradual.



DM 9006

Détalle de cantos
imbricados de grau
vacas y pizarras -
pertenecientes al
C.E.G.



DM 9007

Panorámica de los depósitos terciarios asociados a la falla de Alentejo-Plasencia. A la derecha materiales del C.E.G. Al fondo, detrás de la localidad de Plasencia, granitos del área Bejar-Plasencia.



DM 9008

Vista parcial de los sedimentos terciarios de borde
(Sector I) de la cuenca de Coria con gradación en -
bancos.



DM 5009

Detalle de cantos de grauvacas y pizarras de la foto anterior.



DM 010

Vista parcial de las arcosas terciarias (Sector V) de la cuenca de Coria.



DM 9011

Detalle de arcosas con cantos angulosos y subangulosos de cuarzo, de la foto anterior.



DM 9012

Panorámica de los depósitos arcósicos terciarios (Sector V) de la cuenca de Coria y terrazas. Al fondo relieves - graníticos del Area Bejar-Plasencia.



DM 9013

Detalle de terraza sobre granitos de dos micas con caracter porfidico con elevado indice de alteración.



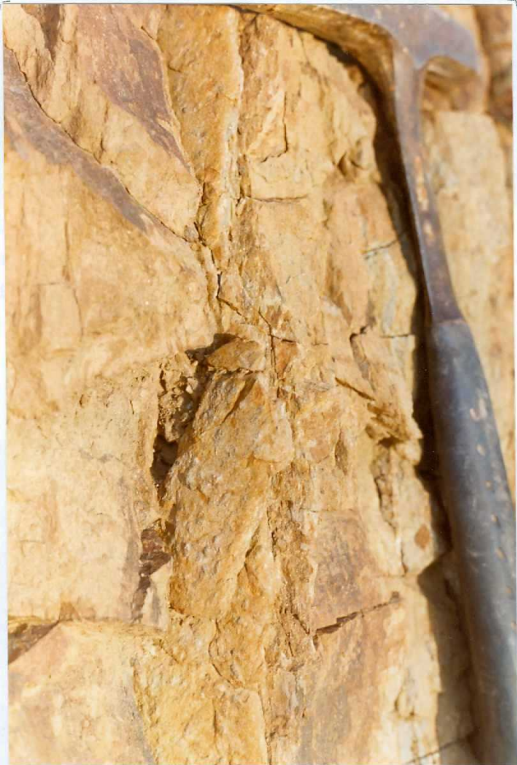
DM 0014

Detalle de terraza sobre depósitos arcóscicos del sector V de la cuenca de Coria.



DM 0015

Vista parcial de materiales del C.E.G.
afectados por el metamorfismo de con-
tacto del área Bejar-Plasencia.



DM 9016

Detalle de "moscas" según los planos de esquistosidad S_1 , en el afloramiento de la foto anterior.



DM 8017

Detalle de granito de dos micas (± sillimanita) en
facies de grano fino.



DM 018

Detalle de pliegues tardihercínicos (fase más intensa) de dirección N30°E/70°N afectando a facies migmatíticas en las proximidades a Tejeda de Tietar.



DM 9019

Vista parcial de plano de falla de direccion N 50°E
y buzamiento 80°N.



DM 9020

Detalle de estrias en la falla de la foto anterior.



DM 021

Detalle de granitos -
de dos micas tomada en
los afloramientos de -
la foto 9019.



DM 9022

Detalle de granitos de dos micas (+ sillimanita) con caracter porfídico, en donde se observa la desorientación de los feldespatos.



DM 023

Panorámica del complejo migmatítico-granítico en las proximidades a Barrado.



DM 2024

Vista parcial de deformación en el complejo migmatítico-
-granítico (10).



DM 9025

Detalle de deformación de la foto anterior.



DM 9026

Detalle de planos de esquistosidad (dirección del lápiz)
y planos de cizalla cortando a las anteriores.



DM 9027

Detalle de orientación de cristales de feldespato que indican desplazamiento normal según el plano del rotulador.



DM 028

Panorámica del valle del Jerte por donde discurre la falla de Alentejo-Plasencia.



DM 9029

Panorámica de granitos de dos micas con morfología típica en bolos.



DM 4030

Aspecto general que presentan los afloramientos de migmatitas de la zona.



DM 0031

Vista de diabasas del dique toleítico de Alentejo-Plasencia
tomada en esta última localidad.



DM 9032

Detaile de la foto anterior.